

1次元ウェーブレット変換

1. 信号の階層的近似

連続信号から一定間隔でN個の値 c_0, c_1, \dots, c_{N-1} をサンプルしたとする。

ただしNは2のべき乗とする。すなわち $N = 2^n$ サンプル間隔を1とする長さの単位をとり、信号を次の段階関数で近似する。

$$\text{レベル0} \downarrow f^{(0)} = \begin{cases} c_0 & 0 \leq x < 1 \\ c_1 & 1 \leq x < 2 \\ \vdots & \\ c_{N-1} & N-1 \leq x < N \end{cases}$$

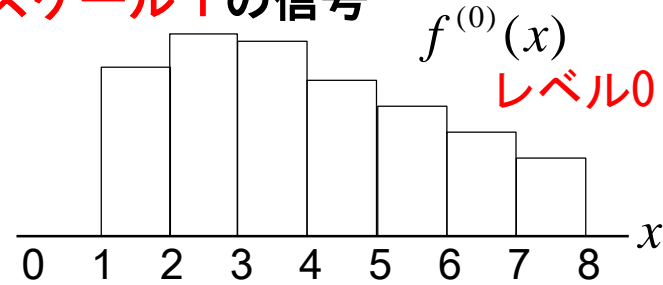
次に、連続する2画素ごとに、値をその平均値で置き換えたものを $f^{(1)}(x)$ とする。

$$\text{レベル1} \downarrow f^{(1)} = \begin{cases} c_0^{(1)} (= (c_0 + c_1)/2) & 0 \leq x < 2 \\ c_1^{(1)} (= (c_2 + c_3)/2) & 2 \leq x < 4 \\ \vdots & \\ c_{N/2-1}^{(1)} (= (c_{N-2} + c_{N-1})/2) & N-2 \leq x < N \end{cases}$$

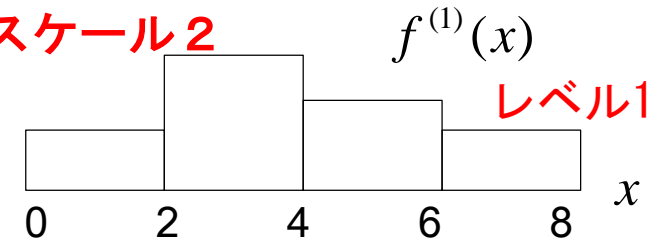
値が一定の区間の幅を**スケール**と呼ぶ。

$N = 8 = 2^3$ の例

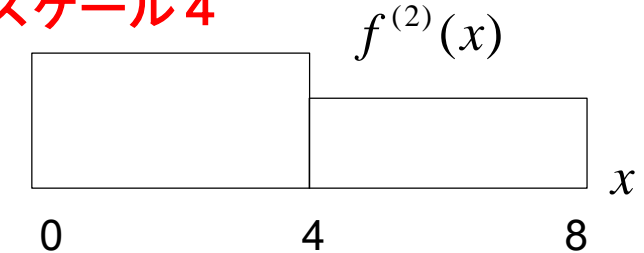
スケール1の信号



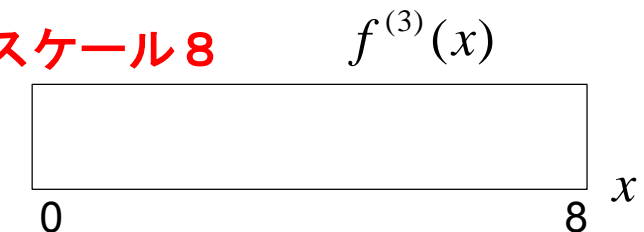
スケール2



スケール4



スケール8



1. 信号の階層的近似 (つづき)

さらに、連続する4画素ごとに同様な平均操作を行ったスケール4の信号を $f^{(2)}(x)$ とする。

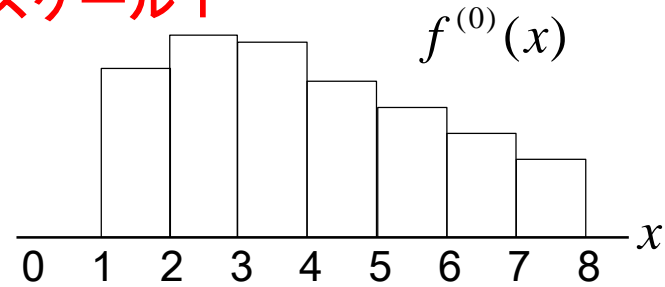
$$f^{(2)} = \begin{cases} c_0^{(2)} (= (c_0^{(1)} + c_1^{(1)})/2) & 0 \leq x < 4 \\ c_1^{(2)} (= (c_2^{(1)} + c_3^{(1)})/2) & 4 \leq x < 8 \\ \vdots \\ c_{N/4-1}^{(2)} (= (c_{N/2-2}^{(1)} + c_{N/2-1}^{(1)})/2) & N-4 \leq x < N \end{cases}$$

以下同様にすると、最終的に $f^{(n)}(x)$ がスケールNの定数関数となる。

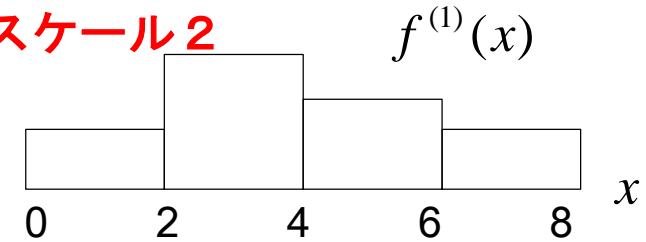
$$f^{(n)}(x) = c_1^{(n)} (= (c_0^{(n-1)} + c_1^{(n-1)})/2) \quad 0 \leq x < N$$

スケールの逆数を**解像度**と呼ぶ。

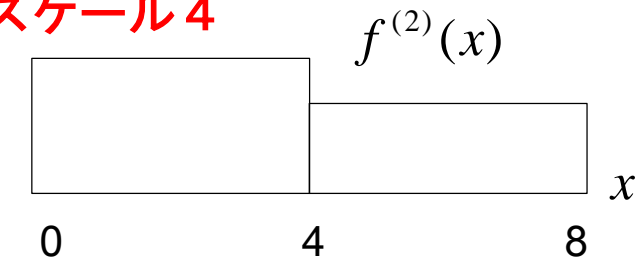
スケール1



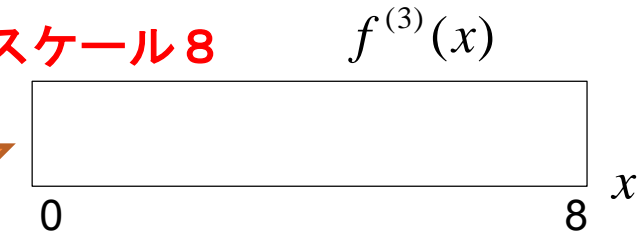
スケール2



スケール4



スケール8

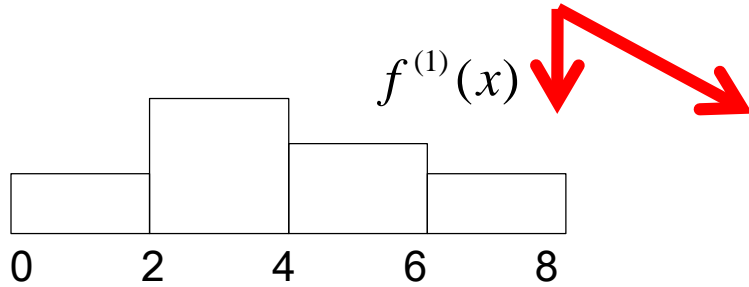
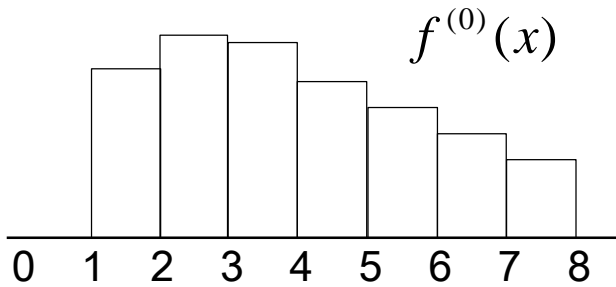


階層的近似：逐次的にさまざまな解像度の信号を作り出すこと。

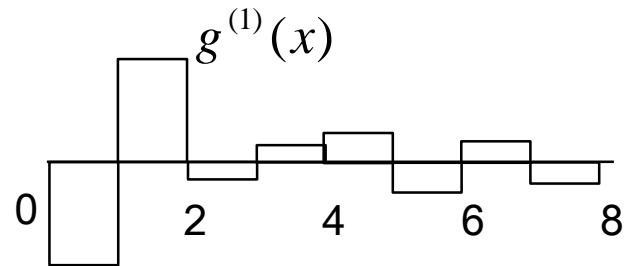
2. 多重解像度分解

スケール1のもっとも詳細な信号
 $f^{(0)}(x)$ とその次のスケール2の近似
 $f^{(1)}(x)$ との差を $g^{(1)}(x)$ とする.

$$f^{(0)}(x) = g^{(1)}(x) + f^{(1)}(x)$$

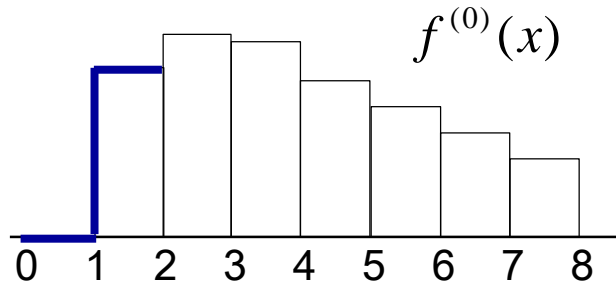


平均

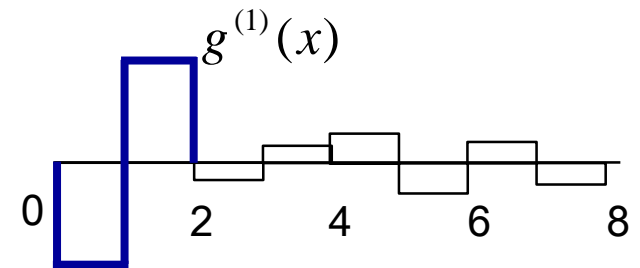
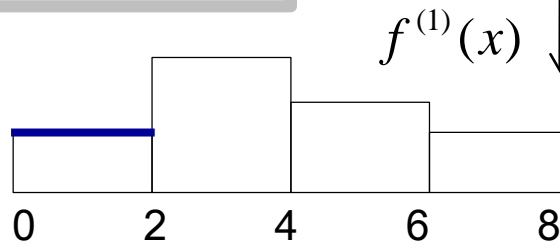


差分

2. 多重解像度分解

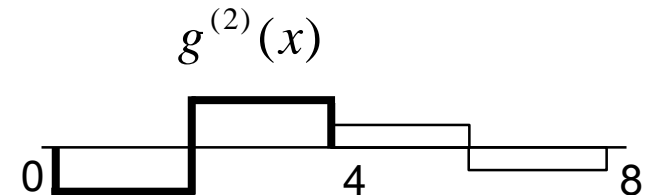
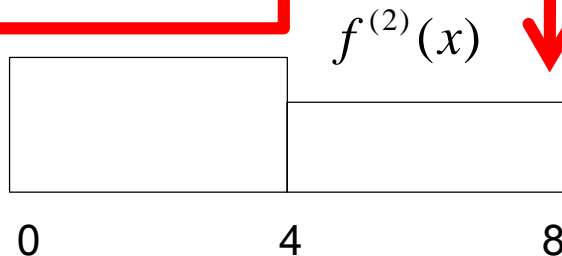


$$f^{(0)}(x) = g^{(1)}(x) + f^{(1)}(x)$$



次に、スケール 2 の近似 $f^{(1)}(x)$ とスケール 4 の近似 $f^{(2)}(x)$ との差を $g^{(2)}(x)$ とする。

$$f^{(1)}(x) = g^{(2)}(x) + f^{(2)}(x)$$



2. 多重解像度分解

スケール1のもっとも詳細な信号 $f^{(0)}(x)$ とその次のスケール2の近似 $f^{(1)}(x)$ との差を $g^{(1)}(x)$ とする.

$$f^{(0)}(x) = g^{(1)}(x) + f^{(1)}(x)$$

次に、スケール2の近似 $f^{(1)}(x)$ とスケール4の近似 $f^{(2)}(x)$ との差を $g^{(2)}(x)$ とする.

$$f^{(1)}(x) = g^{(2)}(x) + f^{(2)}(x)$$

同様に

$$f^{(2)}(x) = g^{(3)}(x) + f^{(3)}(x)$$

最終的に

$$f^{(n-1)}(x) = g^{(n)}(x) + f^{(n)}(x)$$

まとめると

$$\begin{aligned} f^{(0)}(x) &= g^{(1)}(x) + f^{(1)}(x) \\ &= g^{(1)}(x) + g^{(2)}(x) + f^{(2)}(x) \\ &= g^{(1)}(x) + g^{(2)}(x) + g^{(3)}(x) + f^{(3)}(x) \\ &\vdots \\ &= g^{(1)}(x) + g^{(2)}(x) + \dots + g^{(n)}(x) + f^{(n)}(x) \end{aligned}$$

信号を異なるスケールの成分へ分解することを**多重解像度分解**と呼ぶ.

フーリエ変換とウェーブレット変換の違い

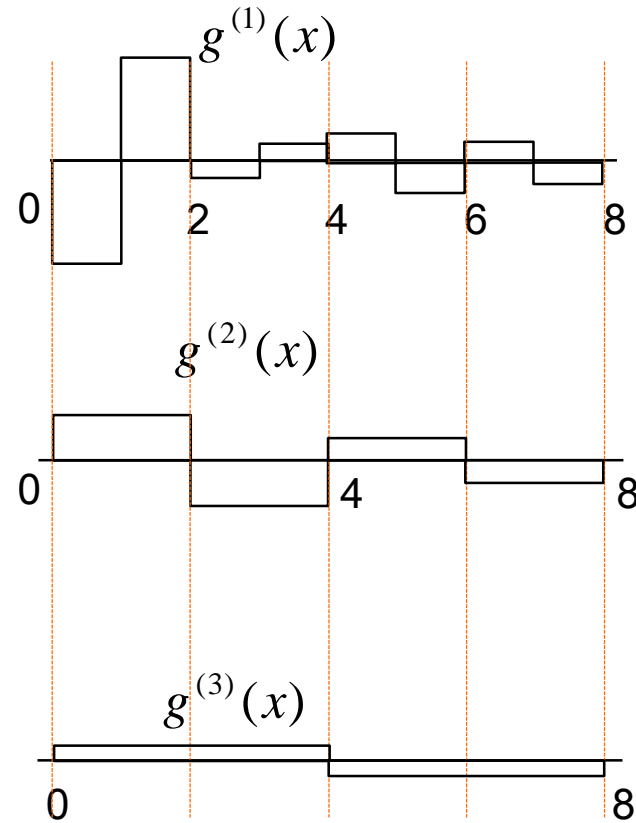
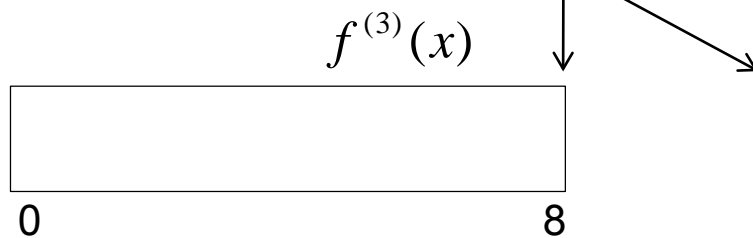
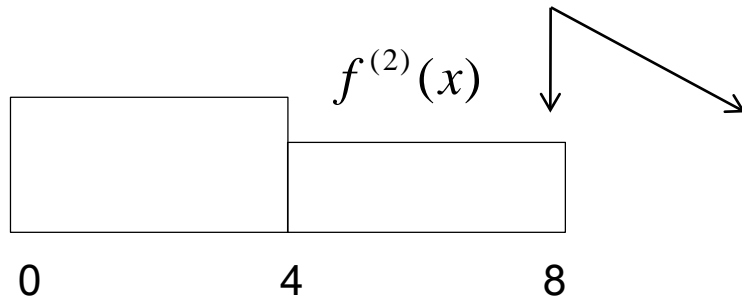
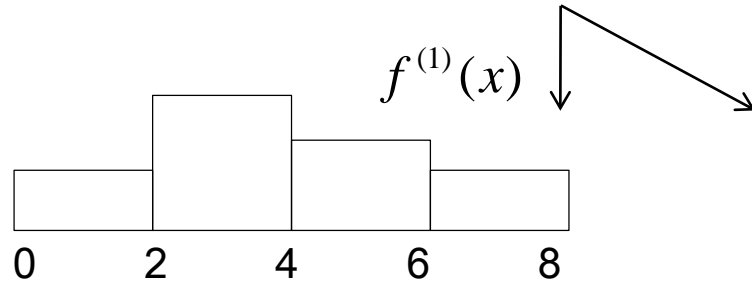
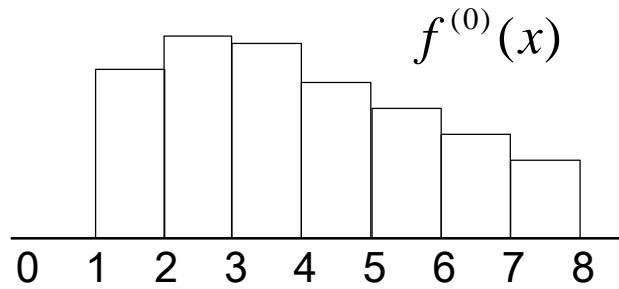
信号を異なるスケールの成分へ分解することを**多重解像度分解**と呼ぶ。

フーリエ解析との違い

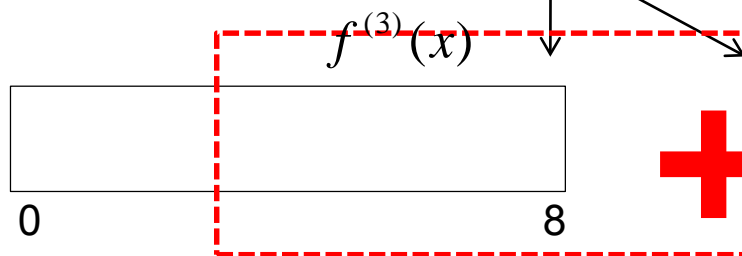
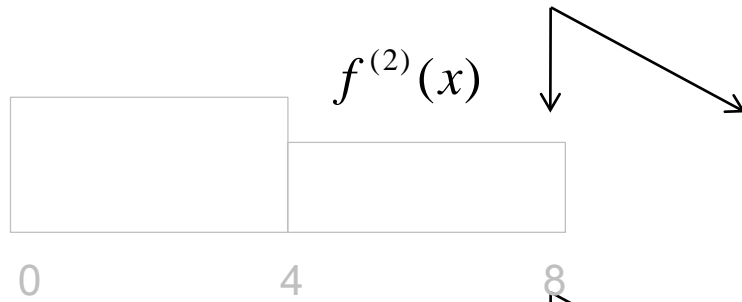
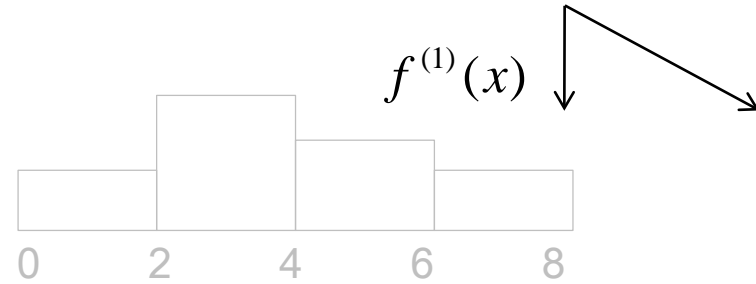
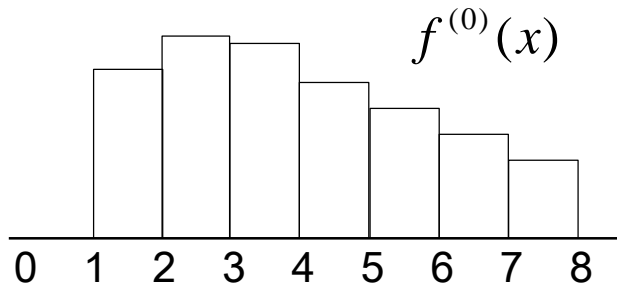
フーリエ解析：各成分は正弦波であり、
振幅が場所によらず一定

多重解像度分解：各成分の振幅が場所ごとに
変化

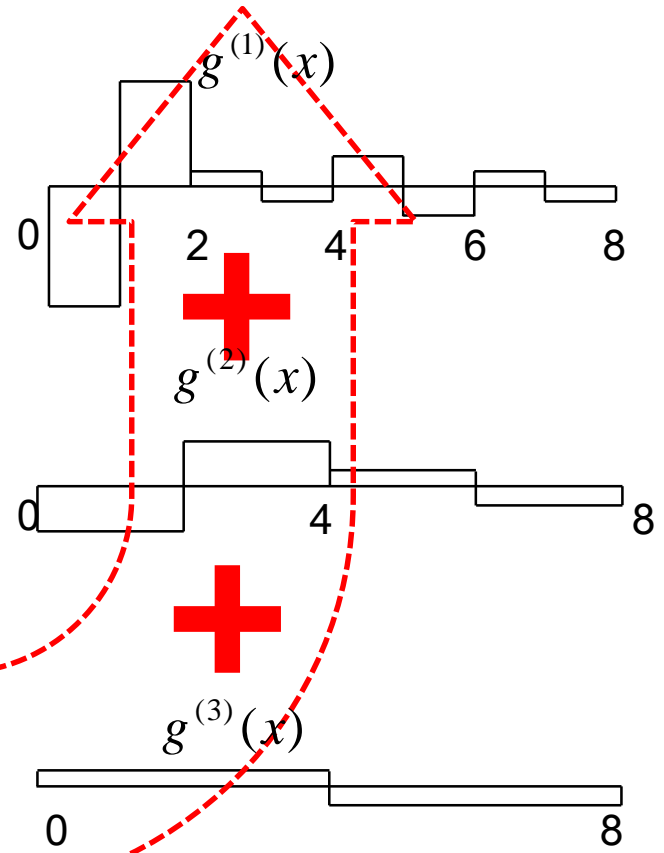
関数 $f^{(0)}(x)$ の多重解像度分解



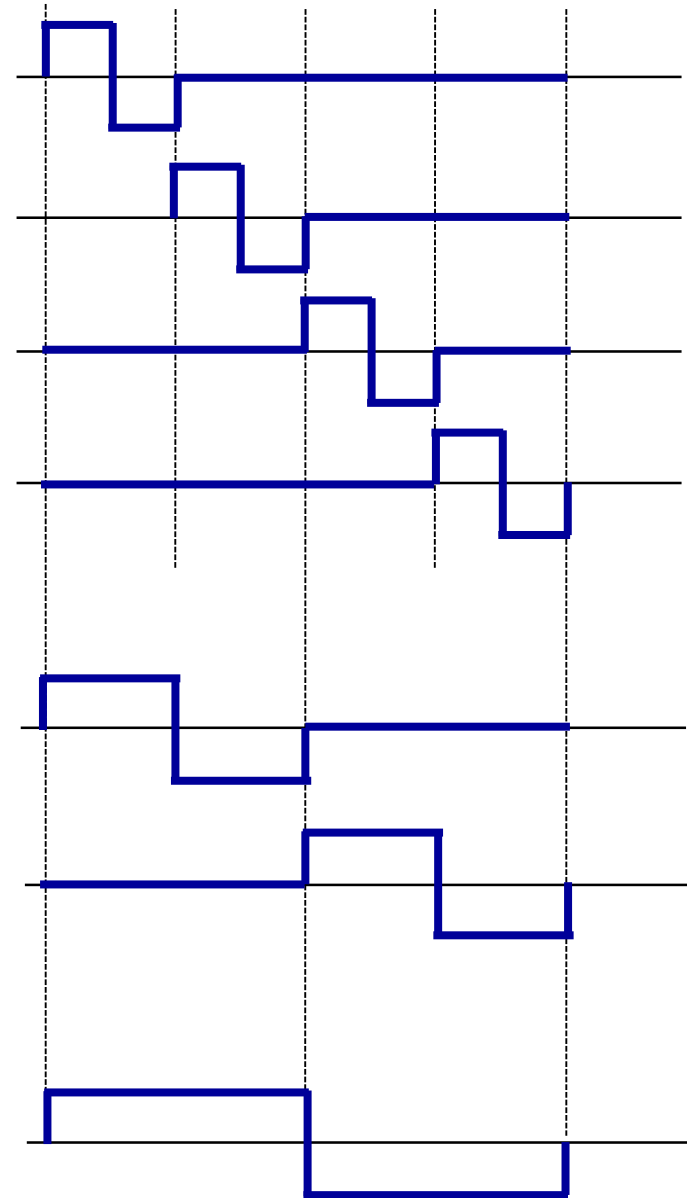
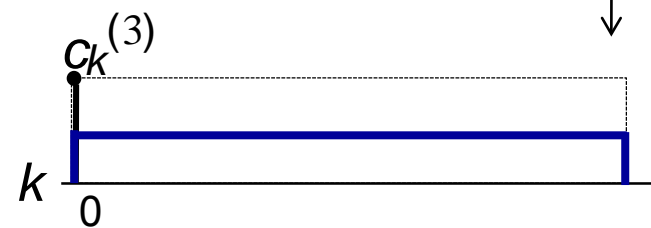
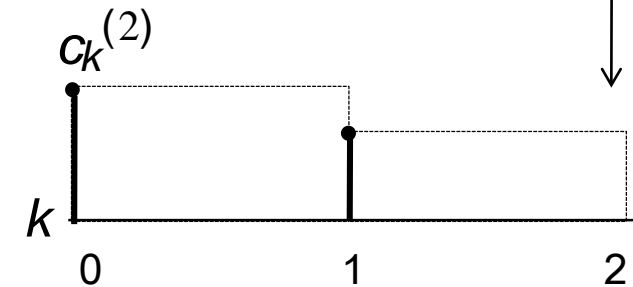
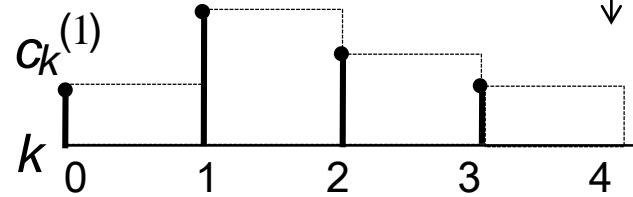
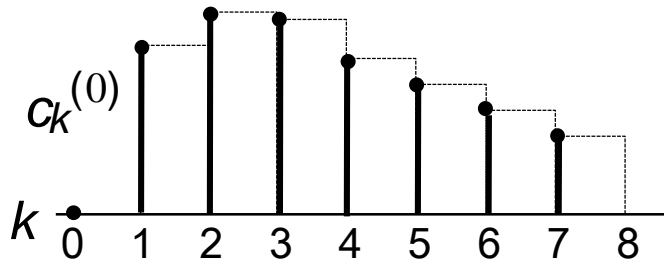
関数 $f^{(0)}(x)$ の多重解像度分解



この加算で元にもどる

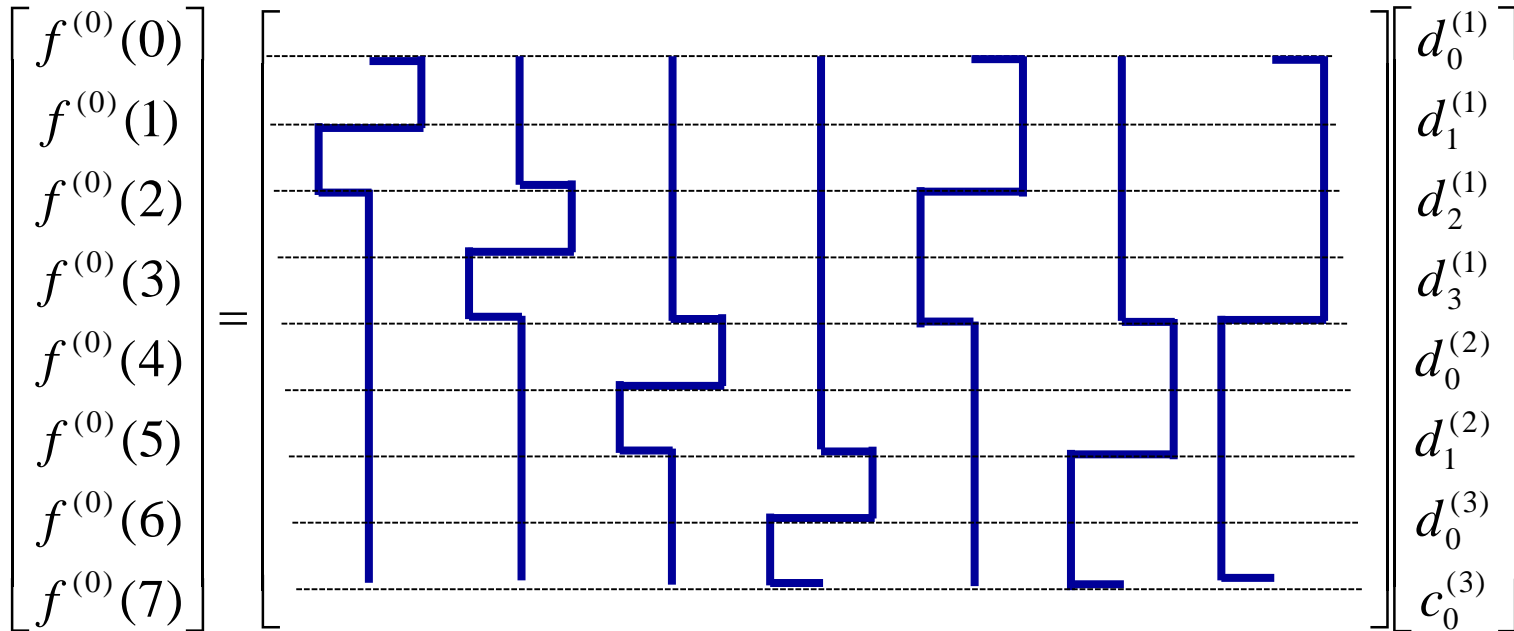
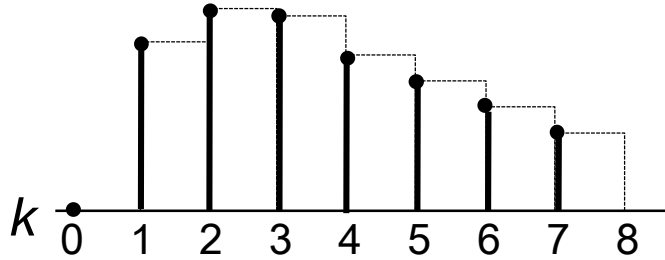


データ $c_k^{(0)}$, $k=1, \dots, 7$ の多重解像度分解



これらを基底関数として、重みをつけて合成したものと考えることができる。

ウェーブレット変換（展開）の行列表現



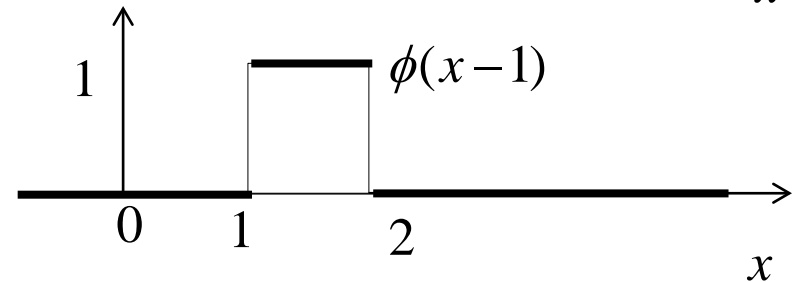
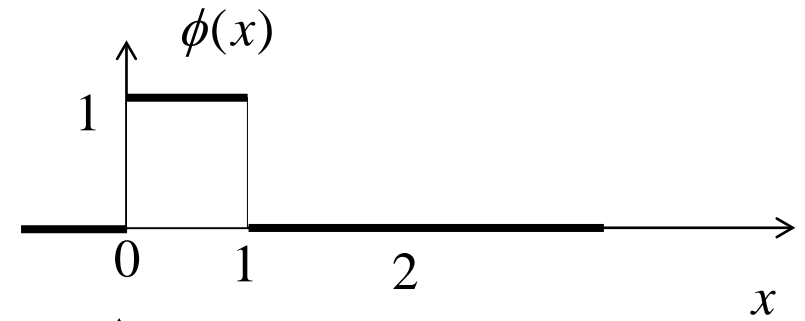
各列はウェーブレットの基底関数（基底ベクトル）であり、互いに直交している。
その波形には局所性があることがわかる。

$f^{(n)}(x)$ のスケーリング関数による表現

スケーリング関数の定義

$$\phi(x) = \begin{cases} 1 & 0 \leq x < 1 \\ 0 & \text{その他} \end{cases}$$

台：値が0でない区間 (support)

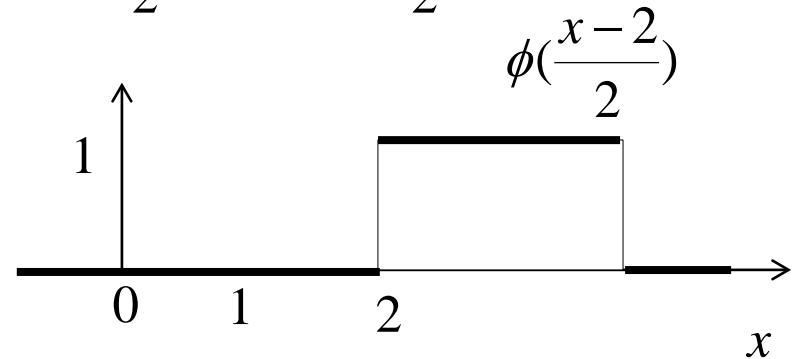


$$f^{(0)}(x) = \sum_{k=0}^{N-1} c_k^{(0)} \phi(x-k), \quad c_k^{(0)} = c_k$$

$$f^{(1)}(x) = \sum_{k=0}^{N/2-1} c_k^{(1)} \phi\left(\frac{x}{2} - k\right), \quad c_k^{(1)} = \frac{c_{2k}^{(0)} + c_{2k+1}^{(0)}}{2}$$

← $\phi\left(\frac{x}{2} - k\right) = \phi\left(\frac{x-2k}{2}\right)$

$$f^{(2)}(x) = \sum_{k=0}^{N/4-1} c_k^{(2)} \phi\left(\frac{x}{4} - k\right), \quad c_k^{(2)} = \frac{c_{2k}^{(1)} + c_{2k+1}^{(1)}}{2}$$



スケーリング関数の直交性の確認

区間 $[0, N)$ 上の関数 $p(x)$, $q(x)$ の内積を

$$(p, q) = \int_0^N p(x)q(x)dx$$

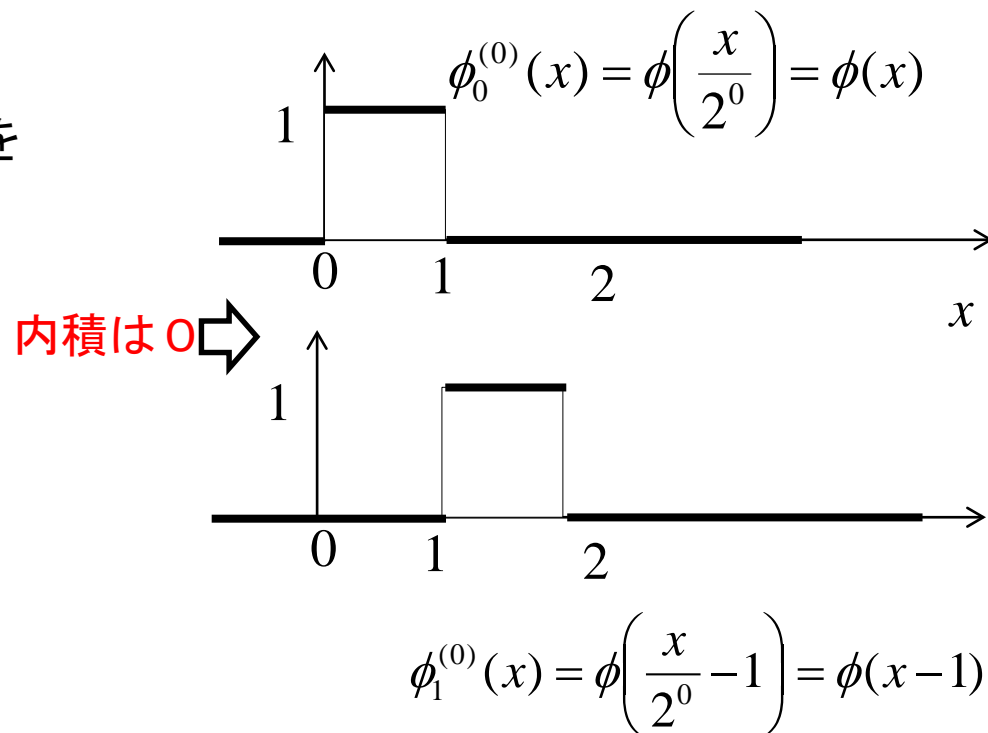
と定義し,

$$\phi_k^{(j)}(x) = \phi\left(\frac{x}{2^j} - k\right)$$

とおくと

$$(\phi_k^{(j)}, \phi_{k'}^{(j)}), \int_0^N \phi_k^{(j)}(x)\phi_{k'}^{(j)}(x)dx = 0, \quad k \neq k'$$

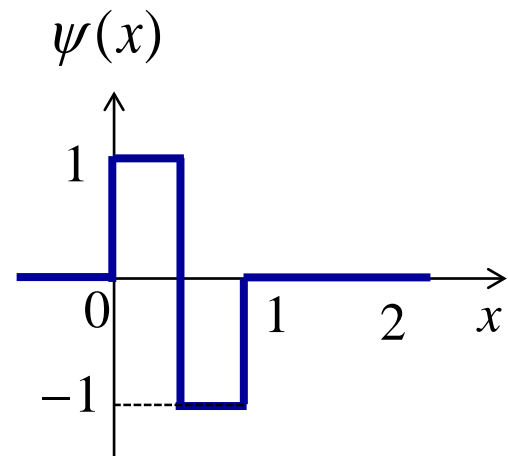
が成り立つ。すなわち ϕ は直交系となる。



差分データ $g(x)$ のウェーブレット母関数による表現

ウェーブレット母関数の定義

$$\psi(x) = \begin{cases} 1 & 0 \leq x < 1/2 \\ -1 & 1/2 \leq x < 1 \\ 0 & \text{その他} \end{cases}$$



$$g^{(1)}(x) = f^{(0)}(x) - f^{(1)}(x)$$

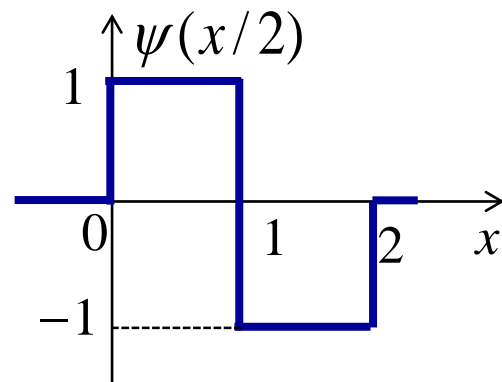
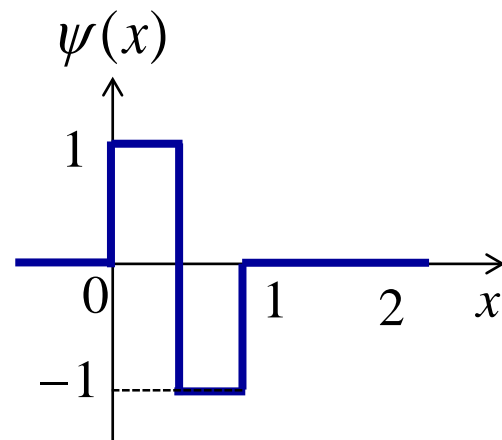
$$= \begin{cases} c_0^{(0)} - (c_0^{(0)} + c_1^{(0)})/2 & 0 \leq x < 1 \\ c_1^{(0)} - (c_0^{(0)} + c_1^{(0)})/2 & 1 \leq x < 2 \\ c_2^{(0)} - (c_2^{(0)} + c_3^{(0)})/2 & 2 \leq x < 3 \\ c_4^{(0)} - (c_2^{(0)} + c_3^{(0)})/2 & 3 \leq x < 4 \\ \vdots & \vdots \\ c_{N-2}^{(0)} - (c_{N-2}^{(0)} + c_{N-1}^{(0)})/2 & N-2 \leq x < N-1 \\ c_{N-2}^{(0)} - (c_{N-2}^{(0)} + c_{N-1}^{(0)})/2 & N-1 \leq x < N \end{cases}$$

$$g^{(1)}(x) = f^{(0)}(x) - f^{(1)}(x)$$

$$= \begin{cases} c_0^{(0)} - (c_0^{(0)} + c_1^{(0)})/2 & 0 \leq x < 1 \\ c_1^{(0)} - (c_0^{(0)} + c_1^{(0)})/2 & 1 \leq x < 2 \\ c_2^{(0)} - (c_2^{(0)} + c_3^{(0)})/2 & 2 \leq x < 3 \\ c_4^{(0)} - (c_2^{(0)} + c_3^{(0)})/2 & 3 \leq x < 4 \\ \vdots & \vdots \\ c_{N-2}^{(0)} - (c_{N-2}^{(0)} + c_{N-1}^{(0)})/2 & N-2 \leq x < N-1 \\ c_{N-2}^{(0)} - (c_{N-2}^{(0)} + c_{N-1}^{(0)})/2 & N-1 \leq x < N \end{cases}$$

$$= \begin{cases} (c_0^{(0)} - c_1^{(0)})/2 & 0 \leq x < 1 \\ -(c_0^{(0)} - c_1^{(0)})/2 & 1 \leq x < 2 \\ (c_2^{(0)} - c_3^{(0)})/2 & 2 \leq x < 3 \\ -(c_2^{(0)} - c_3^{(0)})/2 & 3 \leq x < 4 \\ \vdots & \vdots \\ (c_{N-2}^{(0)} - c_{N-1}^{(0)})/2 & N-2 \leq x < N-1 \\ -(c_{N-2}^{(0)} - c_{N-1}^{(0)})/2 & N-1 \leq x < N \end{cases}$$

$$= \sum_{k=0}^{N/2-1} d_k^{(1)} \psi(x/2 - k)$$



左において

$$d_k^{(1)} = \frac{c_{2k}^{(0)} - c_{2k+1}^{(0)}}{2} \quad \text{と置いた。}$$

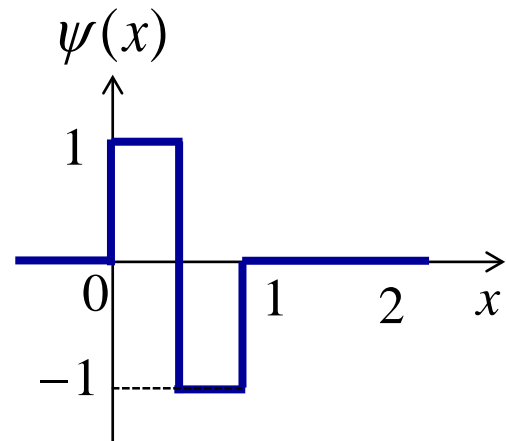
$$\psi(x/2 - k) = \psi((x - 2k)/2)$$

は ψ の台を区間 $[0, 2)$ に広げて
2kだけ平行移動したもの。

$$g^{(2)}(x) = f^{(1)}(x) - f^{(2)}(x)$$

$$= \begin{cases} c_0^{(1)} - (c_0^{(1)} + c_1^{(1)})/2 & 0 \leq x < 2 \\ c_1^{(1)} - (c_0^{(1)} + c_1^{(1)})/2 & 2 \leq x < 4 \\ \vdots & \vdots \\ c_{N-2}^{(1)} - (c_{N-2}^{(1)} + c_{N-1}^{(1)})/2 & N-4 \leq x < N-2 \\ c_{N-1}^{(1)} - (c_{N-2}^{(1)} + c_{N-1}^{(1)})/2 & N-2 \leq x < N \end{cases}$$

$$= \sum_{k=0}^{N/4-1} d_k^{(2)} \psi(x/4 - k)$$



ただし

$$d_k^{(2)} = \frac{c_{2k}^{(1)} - c_{2k+1}^{(1)}}{2}$$

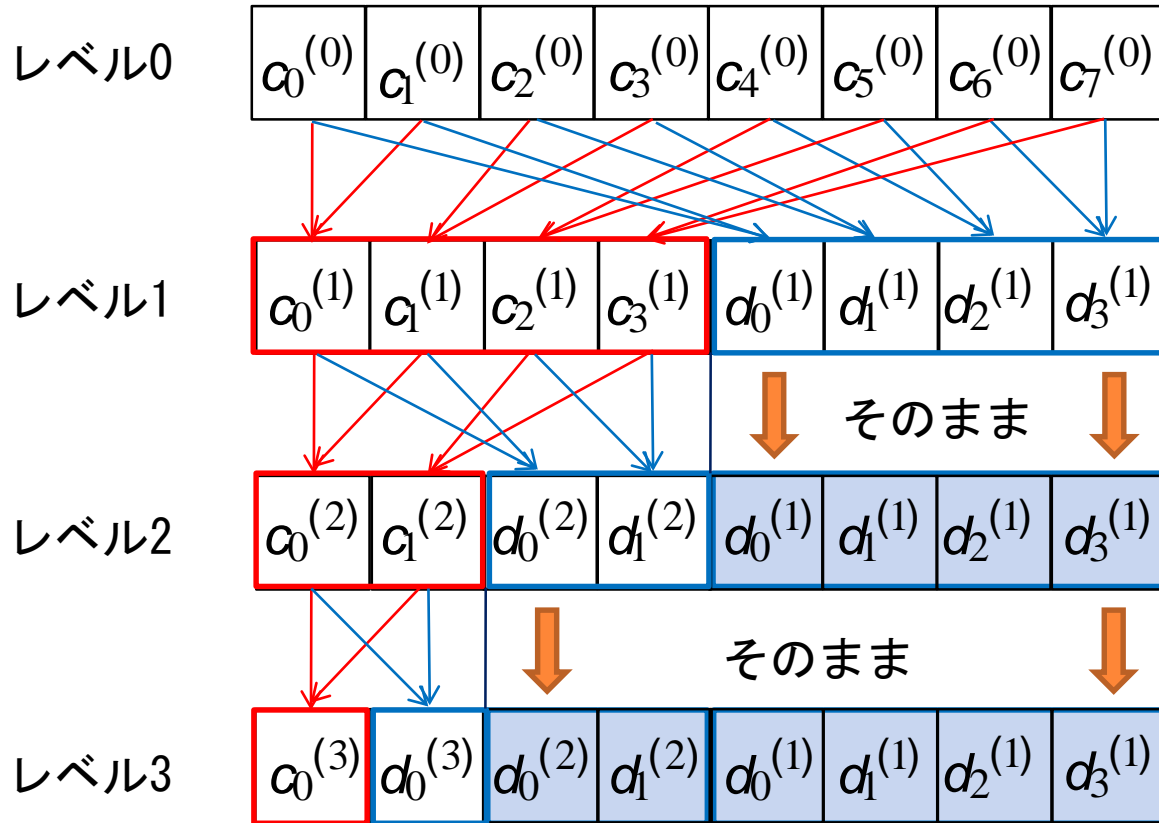
一般にスケール 2^j の関数 $g^{(j)}(x)$ は次のように書ける。

$$d_k^{(j)} = \frac{c_{2k}^{(j-1)} - c_{2k+1}^{(j-1)}}{2}$$

レベル j 、場所 k のウェーブレットを次のように定義する。

$$\psi_k^{(j)}(x) = \psi\left(\frac{x}{2^j} - k\right)$$

係数の計算過程と配列への保存 1次元



ウェーブレット変換

スケーリング関数とウェーブレットの間には直交性がある。

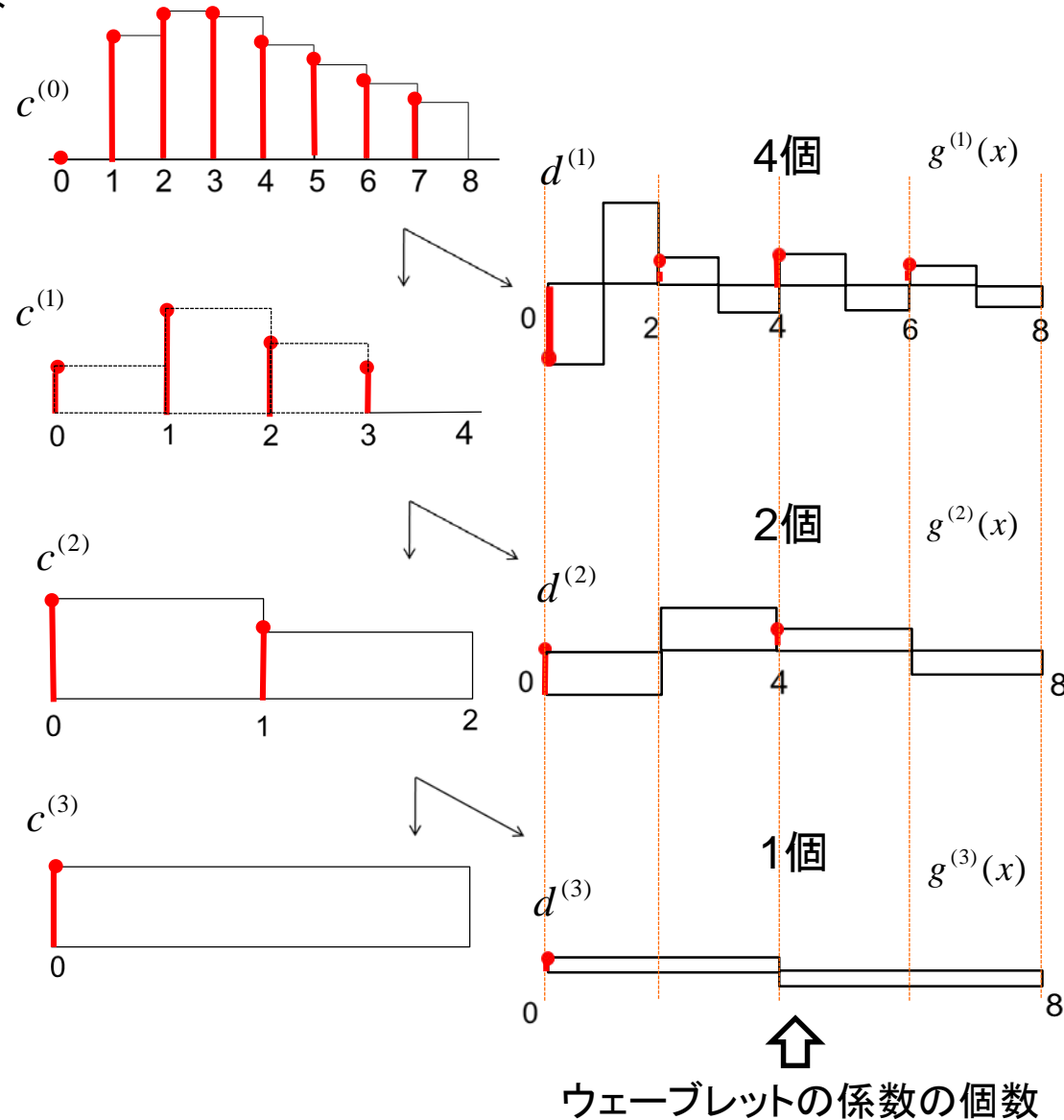
$$(\psi_k^{(j)}, \phi_{k'}^{(j)}) = \int_0^N \psi_k^{(j)}(x) \phi_{k'}^{(j)}(x) dx = 0$$

すべてレベルと場所のウェーブレットの間には直交性がある。

$$(\psi_k^{(j)}, \phi_{k'}^{(j)}) = \int_0^N \psi_k^{(j)}(x) \phi_{k'}^{(j)}(x) dx = 0$$

元のデータをすべてのウェーブレットと1つのスケーリング関数で表す場合、ウェーブレットの係数の個数は以下のようにになる。

$$\begin{aligned} \sum_{j=1}^n \frac{N}{2^j} &= \frac{N}{2} + \frac{N}{4} + \dots + \frac{N}{2^n} \\ &= 2^{n-1} + 2^{n-2} + \dots + 1 \\ &= 2^n - 1 \\ &= N - 1 \end{aligned}$$



ウェーブレット変換

$$f(x) = \sum_{j=1}^n \sum_{k=0}^{N/2^j-1} d_k^{(j)} \psi_k^{(j)}(x) + c_0^{(n)}$$

すべてのウェーブレットの展開
係数であらわされること。

ただし

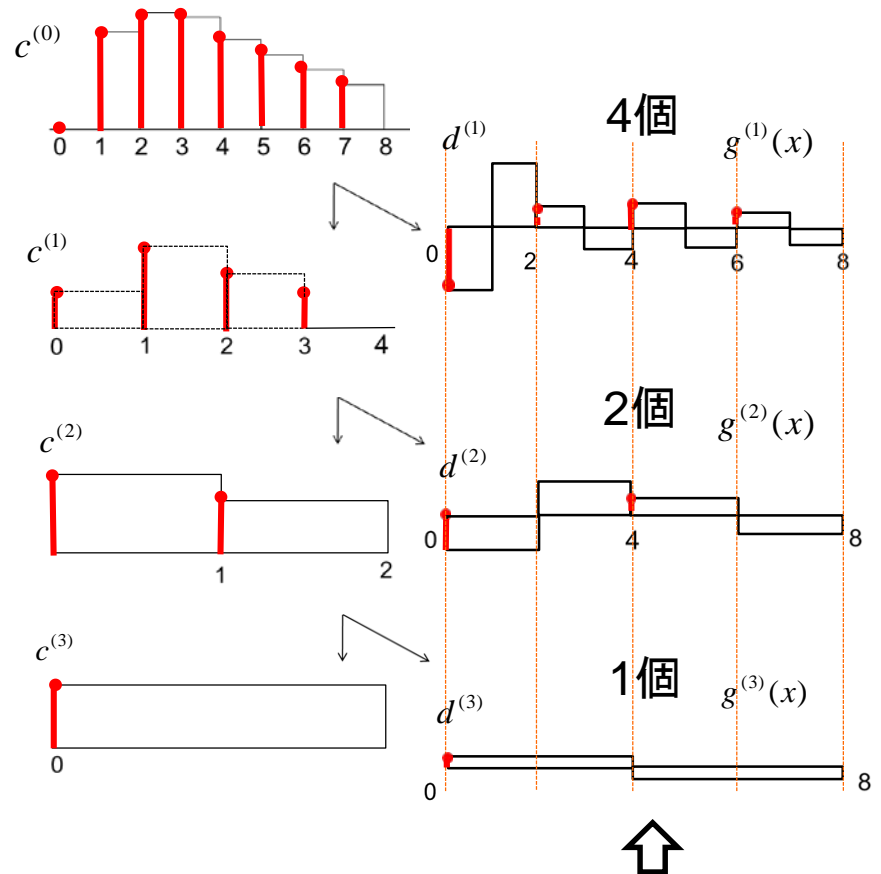
$$\|\psi_k^{(j)}\|^2 = \int_0^N \psi_k^{(j)}(x)^2 dx = \int_0^{2^j} dx = 2^j$$

$$\|\phi_0^{(n)}\|^2 = \int_0^N \phi_0^{(n)}(x)^2 dx = \int_0^N dx = N$$

逆に展開係数は以下のように計算される。

$$d_k^{(j)} = \frac{1}{2^j} \int_0^N f(x) \psi_k^{(j)}(x) dx$$

$$c_0^{(n)} = \frac{1}{N} \int_0^N f(x) dx$$



↑
ウェーブレットの係数の個数

下降サンプリングと上昇サンプリング

下降サンプリング

$$c_k^{(1)} = \frac{c_{2k}^{(0)} + c_{2k+1}^{(0)}}{2}, d_k^{(1)} = \frac{c_{2k}^{(0)} - c_{2k+1}^{(0)}}{2}, k = 0, \dots, \frac{N}{2} - 1$$



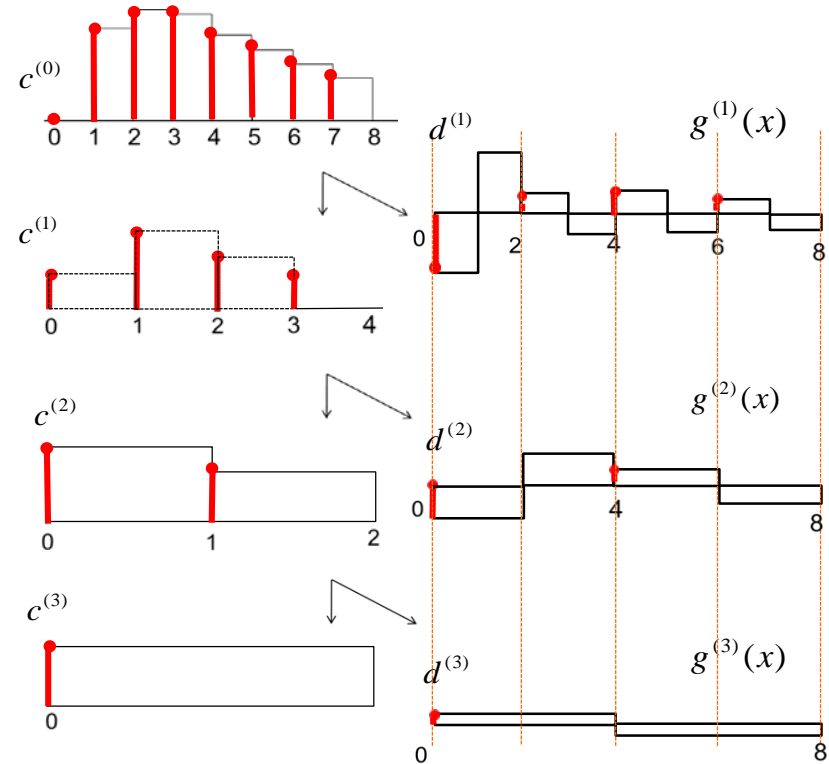
$$c_k^{(2)} = \frac{c_{2k}^{(1)} + c_{2k+1}^{(1)}}{2}, d_k^{(2)} = \frac{c_{2k}^{(1)} - c_{2k+1}^{(1)}}{2}, k = 0, \dots, \frac{N}{4} - 1$$



$$c_k^{(3)} = \frac{c_{2k}^{(2)} + c_{2k+1}^{(2)}}{2}, d_k^{(3)} = \frac{c_{2k}^{(2)} - c_{2k+1}^{(2)}}{2}, k = 0, \dots, \frac{N}{8} - 1$$



$$c_k^{(n)} = \frac{c_{2k}^{(n-1)} + c_{2k+1}^{(n-1)}}{2}, d_k^{(n)} = \frac{c_{2k}^{(n-1)} - c_{2k+1}^{(n-1)}}{2}, k = 0$$



演算回数

$$c_k^{(j)} \text{ の数: } \sum_{j=1}^n \frac{N}{2^j} = \frac{N}{2} + \frac{N}{4} + \dots + \frac{N}{2^n} = 2^{n-1} + 2^{n-2} + \dots + 1 = 2^n - 1 = N - 1$$

$$d_k^{(j)} \text{ の数: } N - 1$$

1つの値の計算に加算数が1回、除算が1回要るので、演算は合計4(N-1)回

下降サンプリングと上昇サンプリング

上昇サンプリング

$$c_{2k}^{(0)} = c_k^{(1)} + d_k^{(1)}, \quad c_{2k+1}^{(0)} = c_k^{(1)} - d_k^{(1)}, \quad k = 0, 1, 2, \dots, \frac{N}{2} - 1$$



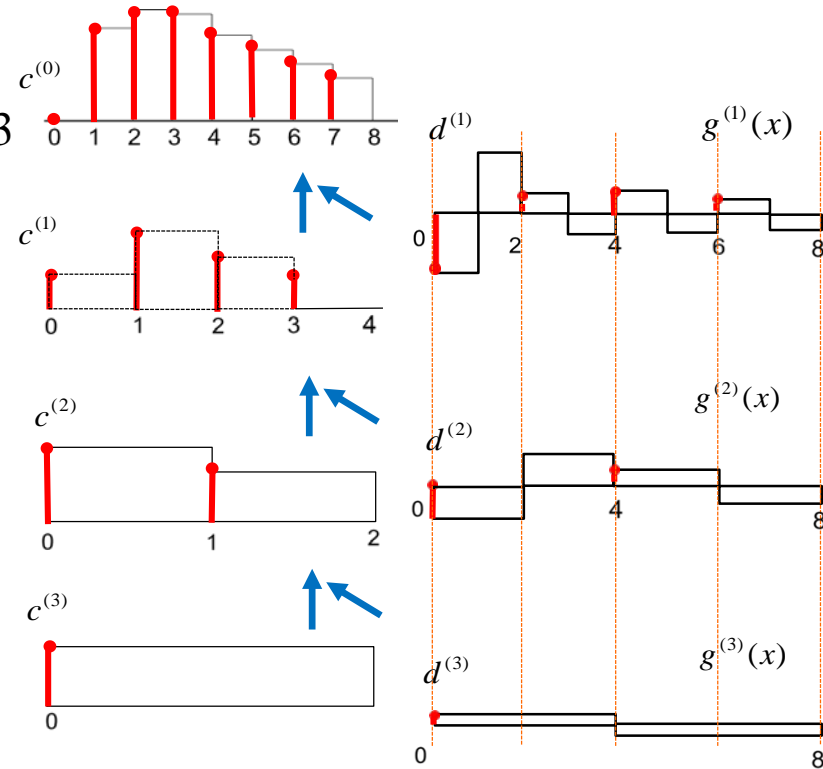
$$c_{2k}^{(n-3)} = c_k^{(n-2)} + d_k^{(n-2)}, \quad c_{2k+1}^{(n-3)} = c_k^{(n-2)} - d_k^{(n-2)}, \quad k = 0, 1, 2, 3$$



$$c_{2k}^{(n-2)} = c_k^{(n-1)} + d_k^{(n-1)}, \quad c_{2k+1}^{(n-2)} = c_k^{(n-1)} - d_k^{(n-1)}, \quad k = 0, 1$$



$$c_{2k}^{(n-1)} = c_k^{(n)} + d_k^{(n)}, \quad c_{2k+1}^{(n-1)} = c_k^{(n)} - d_k^{(n)}, \quad k = 0$$



演算回数

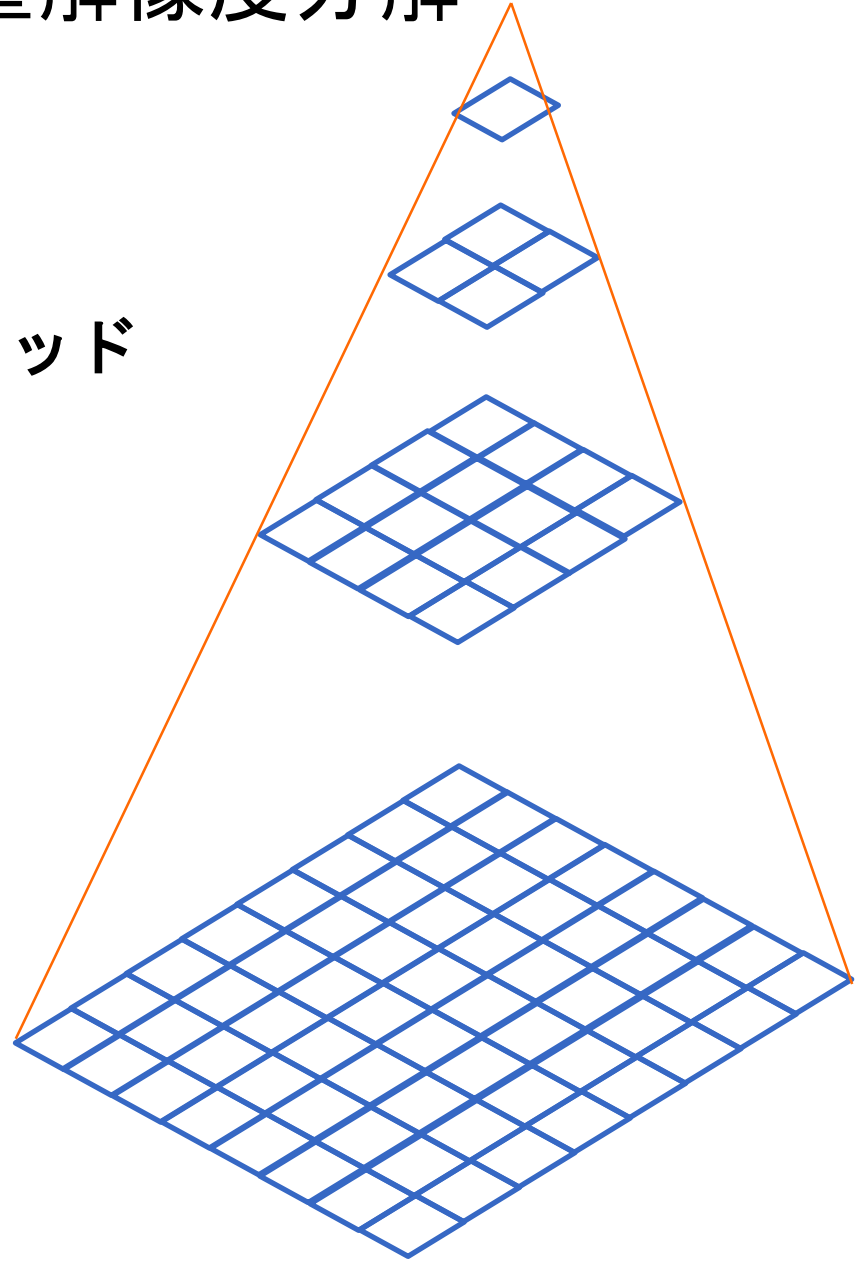
$c_k^{(j)}$ の数: $2(N-1)$

1つの値の計算に加算数が1回要るので、演算は合計 $2(N-1)$ 回

2次元画像の多重解像度分解

階層的近似：逐次的にさまざまな解像度の信号を作り出すこと。

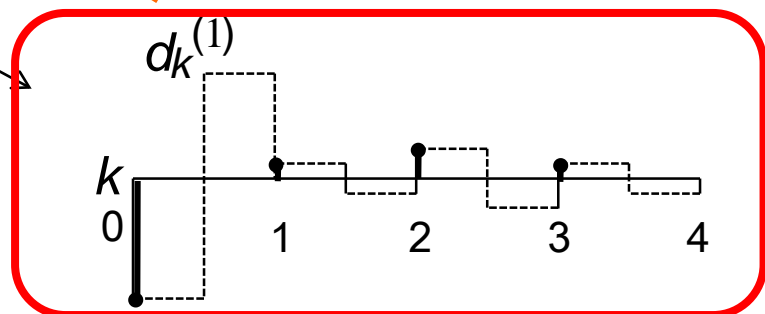
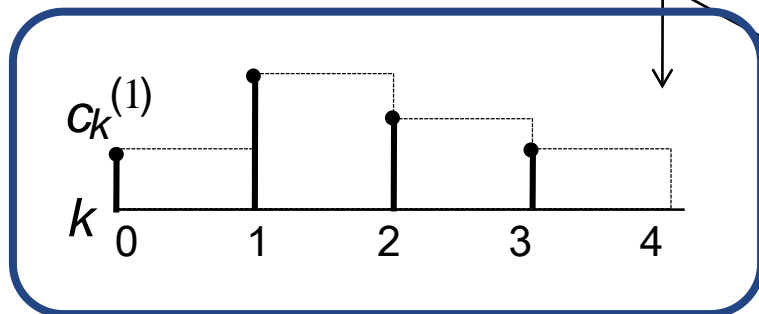
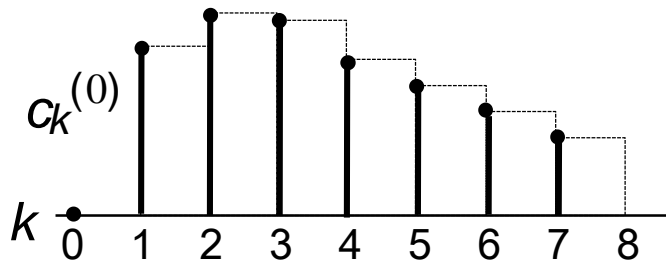
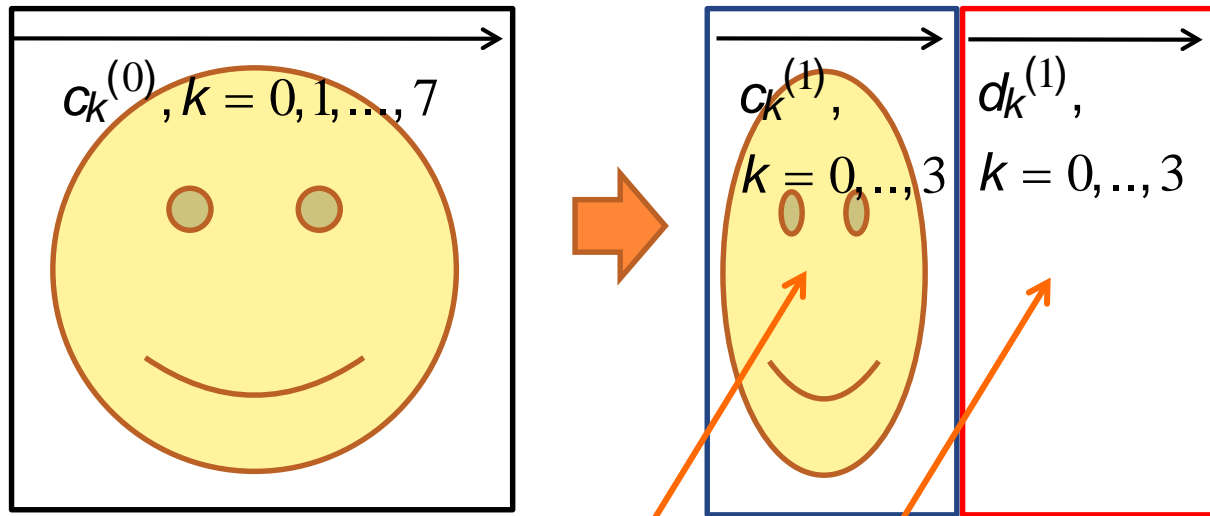
画像の場合⇒ピラミッド



2次元ウェーブレット変換

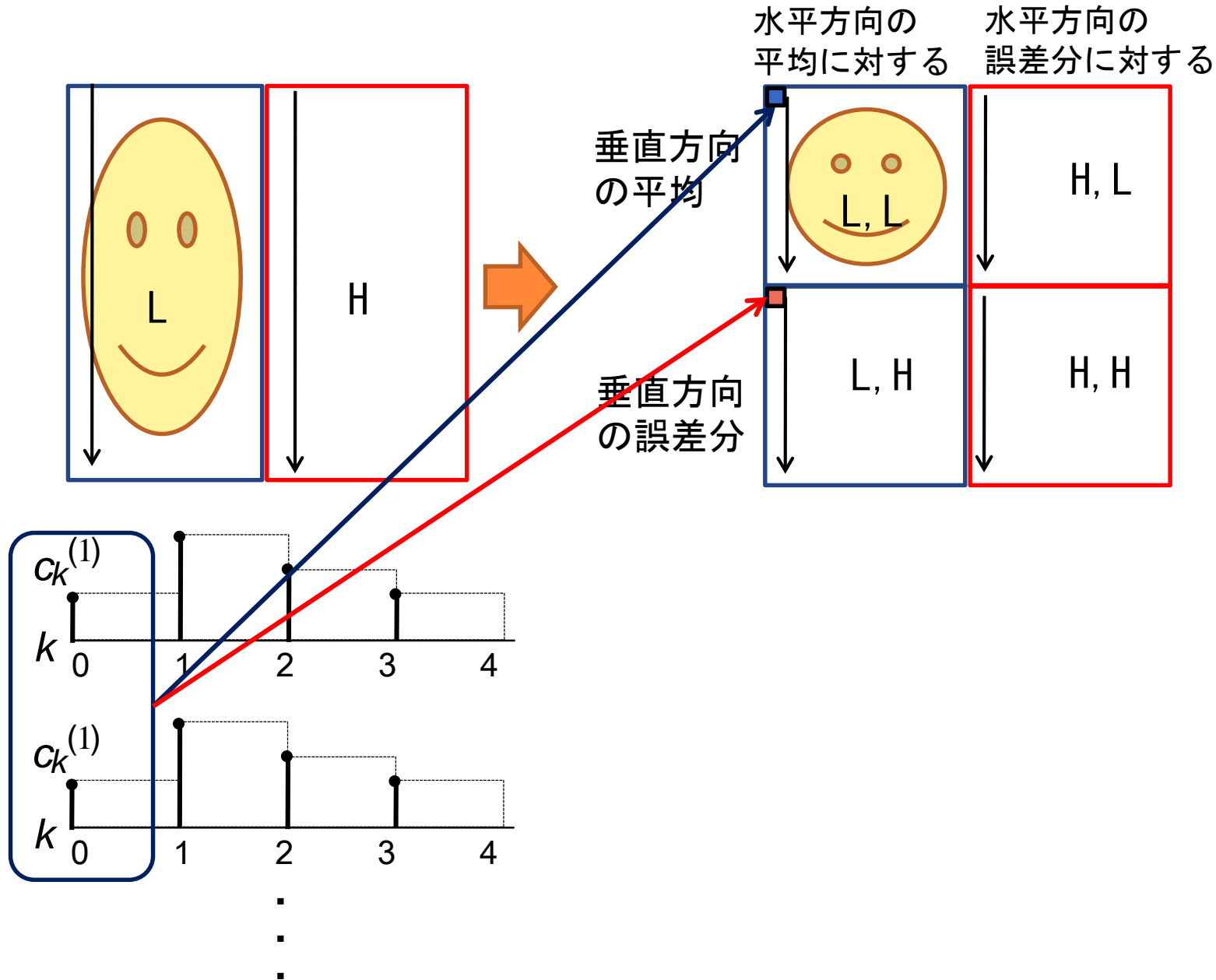
2次元画像の多重解像度分解

画像の横のラインごとに、1段階の多重解像度分解を実施

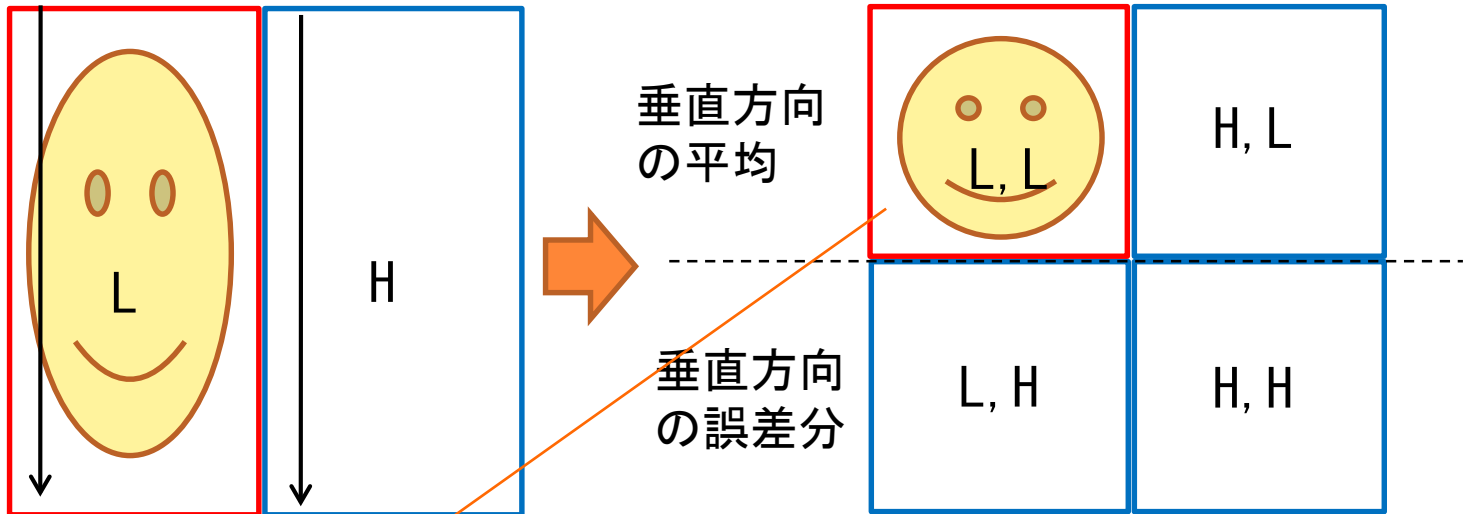


2次元画像の多重解像度分解

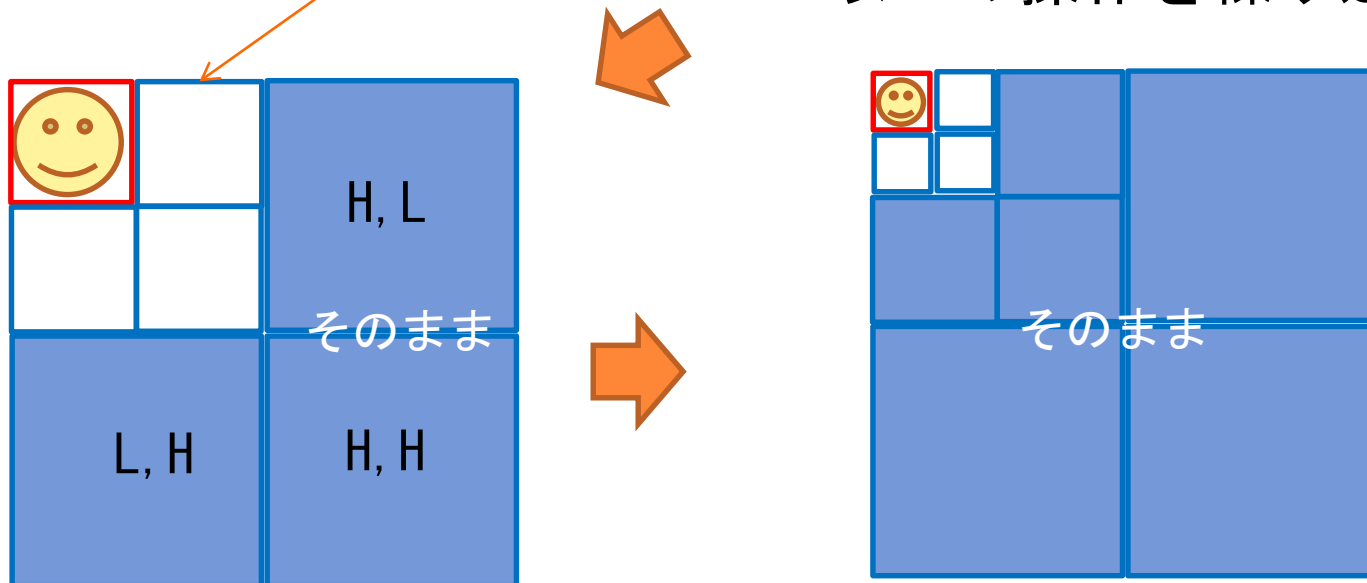
画像の縦のラインごとに、1段階の多重解像度分解を実施



画像の縦のラインごとに、1段階の多重解像度分解を実施



以上の操作を繰り返していく。



ウェーブレット変換の応用

ウェーブレット縮退によるノイズの低減

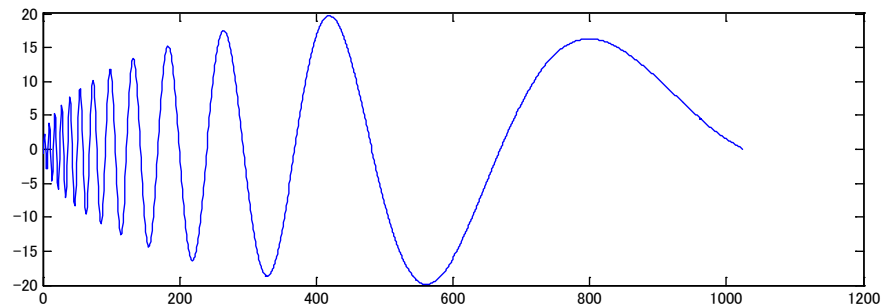
一般的な特徴

1. 信号の特徴は、少数のウェーブレット展開係数で表現可能である。
2. 白色ノイズは、すべての展開係数に影響を及ぼす。

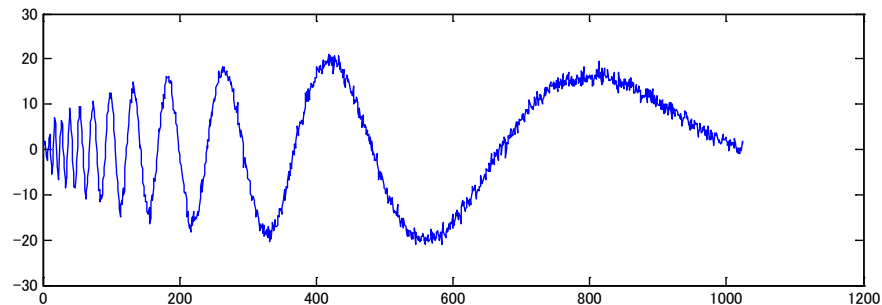
処理法

絶対値の小さい展開係数をノイズとみなし、絶対値があるしきい値より小さい展開係数を0にして信号の再構成を行うと、信号の特徴を保持したまま、ノイズ成分が減少する。

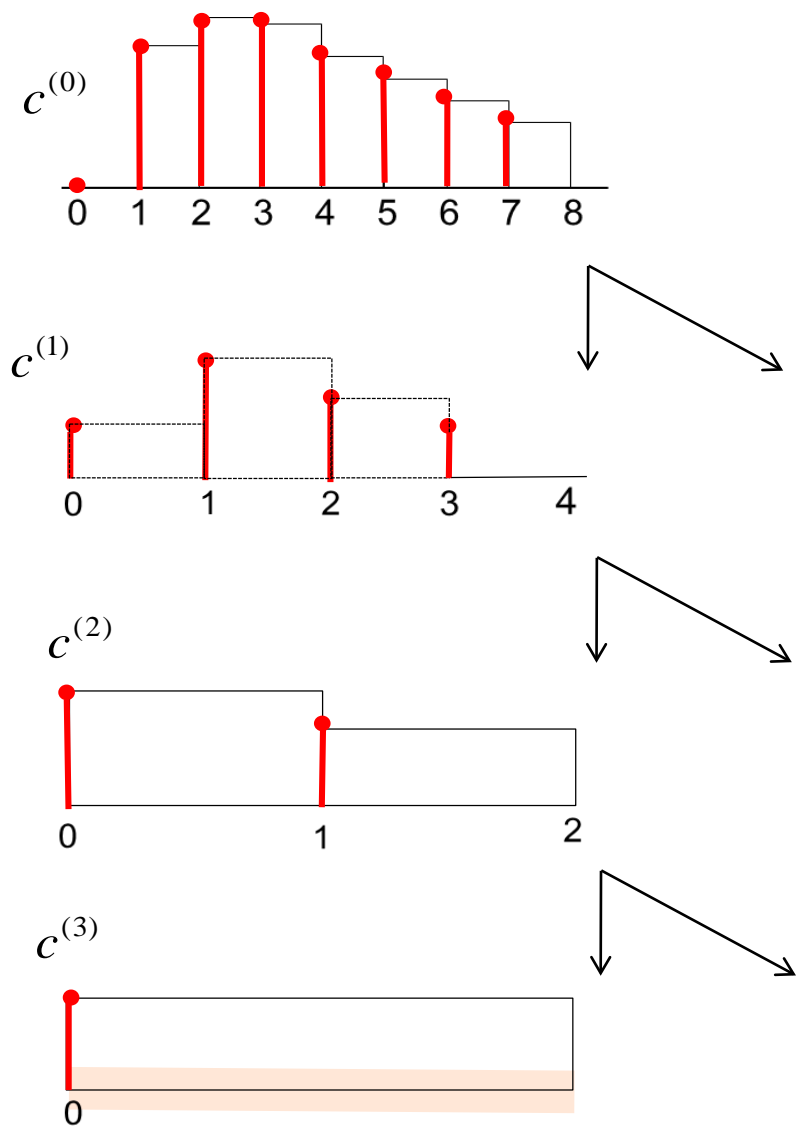
原信号



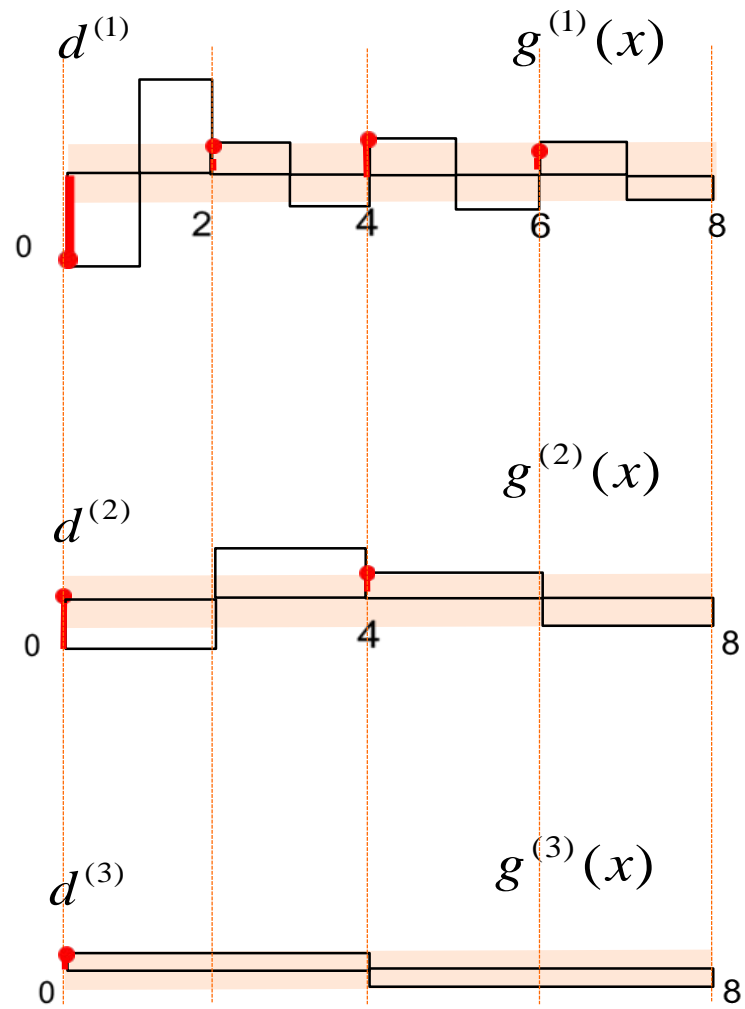
ノイズ加算



ウェーブレット縮退によるノイズの低減



ウェーブレットの展開係数が $\pm\delta$ 内なら0にする



実験：フーリエ変換との比較

フーリエ変換

1次元信号をフーリエ変換し、絶対値で閾値以下のフーリエ係数を強制的に0に置き換える。その後、フーリエ逆変換をする。

シミュレーションでは、3段階の閾値でノイズ除去を実施。

ウェーブレット変換

1次元信号をウェーブレット変換し、絶対値で閾値以下のウェーブレット係数を強制的に0に置き換える。その後、ウェーブ逆変換をする。
閾値の設定方法として以下が提案されている。

シミュレーションでは、3段階の閾値でノイズ除去を実施。

$$T = \alpha \cdot \sigma \sqrt{2 \ln n} \quad n \text{ はデータ数、} \sigma \text{ はノイズの標準偏差 (Donoho, 1995)}$$

$$\alpha = 0.5, \quad 1, \quad 1.5$$

デモソフト Denoise_Fourier.m

```
n = 1024; % 信号のサンプル数 n = 1024
L = 10;   % 信号の最大展開レベル n = 2^L
J = 9;    % Jレベルまで展開 (J =< L)
threshold = 0.02;
```

```
t = (1:n)./n;
sig = 40.0*sqrt(t.*(1-t)).*sin((2.2*pi)./(t+.08));
      % ドップラー信号の生成
noise = randn(1,n); % 白色ノイズの生成
sdv = std(noise) % ノイズの標準偏差
s0 = sig+noise; % 信号にノイズを加える
```

```
S0 = fft(s0);
S0a = abs(S0)/max(abs(S0));
S0 = S0 .* (abs(S0a) >= threshold);
s1 = real(ifft(S0));
subplot(2,1,1);
plot(s0);
subplot(2,1,2);
```

左から続く

```
figure
plot(abs(S0)); % スペクトルを表示
```

```
format long
mse = sum((s1(:)-sig(:)).^2)/(n*n)
format short
```

デモソフト Denoise.m

```
n = 1024; % 信号のサンプル数 n = 1024
L = 10; % 信号の最大展開レベル n = 2^L
J = 9; % Jレベルまで展開 (J <= L)

t = (1:n)./n;
sig = 40.0*sqrt(t.*(1-t)).*sin((2.2*pi)./(t+.08));
% ドップラー信号の生成
noise = randn(1,n); % 白色ノイズの生成
sdv = std(noise) % ノイズの標準偏差
s0 = sig+noise; % 信号にノイズを加える

p = [0.482962913145 0.836516303738 ...
     0.224143868042 -0.129409522551];
% ドベシの数列 p_k (N=2)

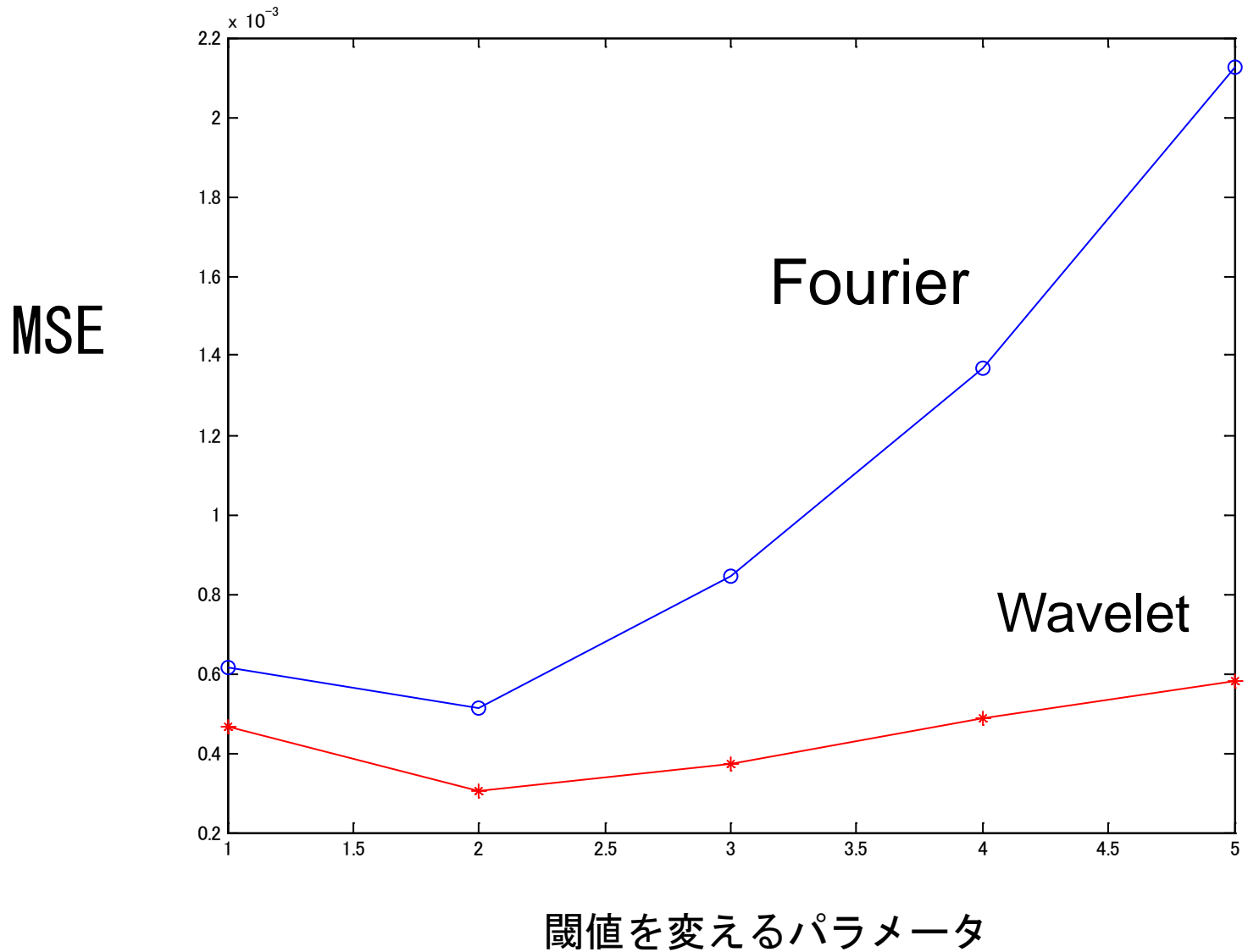
sup = length(p); % 数列の長さ
q = -((-1).^(1:sup)).*p(sup:-1:1);
% ドベシの数列 q_k の生成
coef = zeros(1,n); % 展開係数の保持エリア
sk = s0; % スケーリング係数の初期値設定
```

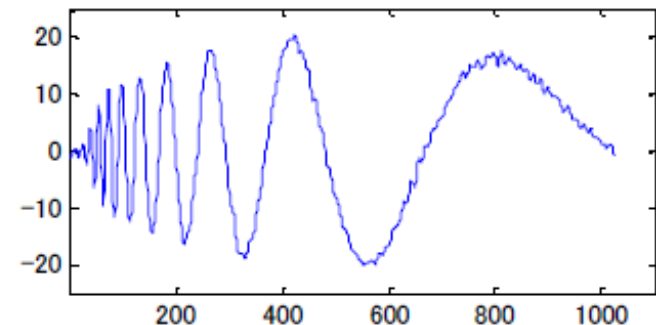
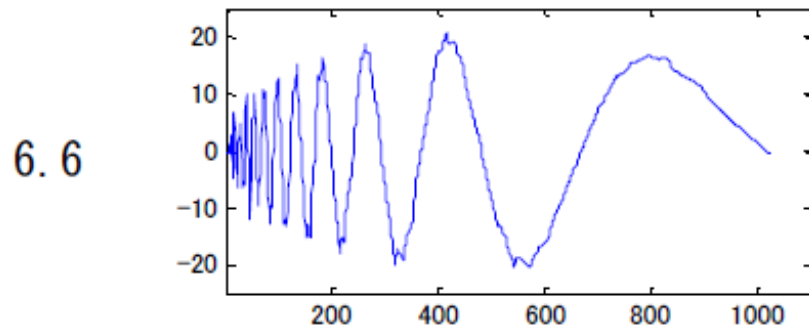
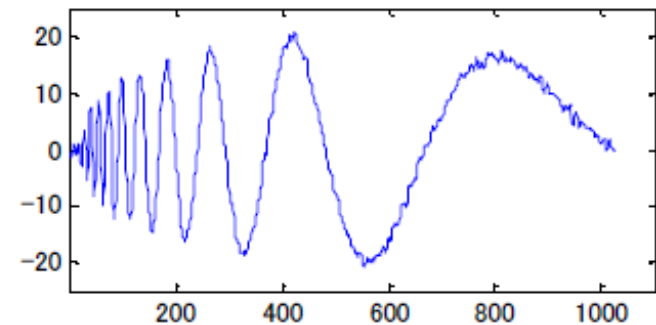
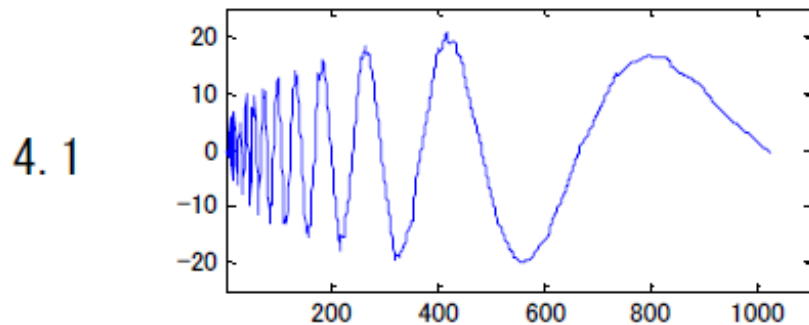
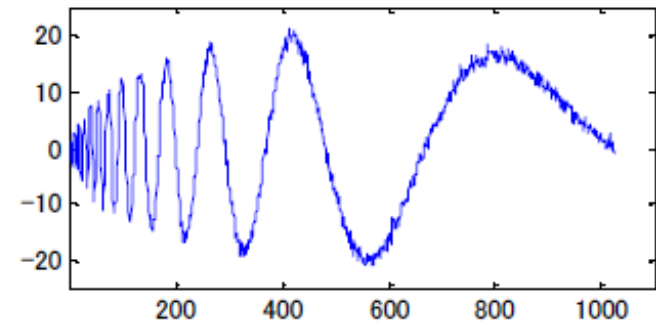
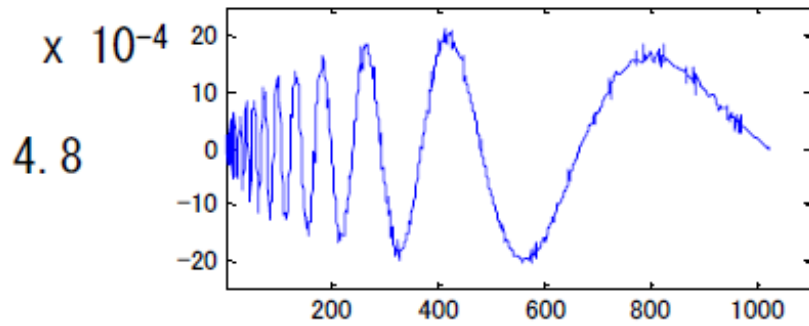
左から続く

```
% レベル 1 からレベル J までの高速ウェーブレット変換
for j = 1:J
    [sk,wk] = fwt1d(sk,p,q);
    % スケーリング係数の 1次元ウェーブレット変換
    coef((2^(L-j)+1):(2^(L-j+1))) = wk;
    % ウェーブレット展開係数の保持
    coef(1:(2^(L-j))) = sk; % スケーリング係数の保持
end

threshold = sdv*sqrt(2*log(n))
% ウェーブレット縮退のためのしきい値
coef = coef .* (abs(coef) >= threshold);
% ウェーブレット縮退
% 絶対値がしきい値未満の展開係数を 0 にする

% 再構成
sk = coef(1:(2^(L-J))); % レベル J のスケーリング係数
for j = J:-1:1
    wk = coef((2^(L-j)+1):(2^(L-j+1)));
    % レベル j のウェーブレット展開係数
    sk = ifwt1d(sk,wk,p,q);
    % 1次元ウェーブレット逆変換により、
    % レベル j のスケーリング係数を求める
end
```



ウェーブレット空間でのノイズ除去

フーリエ空間でのノイズ除去

```
% 「ウェーブレットによる信号処理と画像処理」
% 中野ら著、共立出版 から引用

n = 512;      % 2次元信号の正方配列の一辺の長さ
L = 9;       % 2^L = n
J = L-2;     % Jレベルまで展開
rate = 10;   % 上位 (rate)% の展開係数で再構成
quality = 50; % quality set in JPEG
s0 = zeros(n,n); % s0 の初期設定

A = imread('yuki_s.tif','tif');
B = A(1:512, 101:612,2);
s0 = double(B(:,:,));

imwrite(B, 'yuki_s.jpg','jpeg', 'Quality', quality);
C = double(imread('yuki_s.jpg'));

p = [ 0.482962913145 0.836516303738 ...
      0.224143868042 -0.129409522551];
% ドベシのスケール関数の数列 p_k (N=2)
sup = length(p); % 数列の長さ
q = -((-1).^(1:sup)).*p(sup:-1:1);
% ドベシのウェーブレットの数列 q_k の
生成
coef = zeros(n,n); % 展開係数の保持エリア
sk = s0; % スケール係数の初期値設定
```

左から続く

```
% レベル 1 からレベル J までの展開
for j = 1:J
    [sk,wvk,whk,wdk] = fwt2d(sk,p,q);
    % 2次元高速ウェーブレット変換(1レベル分)
    coef(1:2^(L-j),1:2^(L-j)) = sk; % スケール係数の保持
    coef(1:2^(L-j),2^(L-j)+1:2^(L-j+1)) = wvk;
    coef(2^(L-j)+1:2^(L-j+1),1:2^(L-j)) = whk;
    coef(2^(L-j)+1:2^(L-j+1),2^(L-j)+1:2^(L-j+1)) = wdk;
    % ウェーブレット展開係数の保持
end

ordered = reverse(sort(abs(coef(:)))));

index = round(length(s0(:))* rate/100)
% 配列要素の上位 (rate)% に相当する配列のインデックス
threshold = ordered(index)
coef = coef .* (abs(coef) >= threshold);

% 再構成 (sk に結果が入る)
sk = coef(1:2^(L-j),1:2^(L-j)); % レベルJ のスケール係数
for j = J:-1:1
    wvk = coef(1:2^(L-j),2^(L-j)+1:2^(L-j+1));
    % レベル j のウェーブレット展開係数
    whk = coef(2^(L-j)+1:2^(L-j+1),1:2^(L-j));
    wdk = coef(2^(L-j)+1:2^(L-j+1),2^(L-j)+1:2^(L-j+1));
    sk = ifwt2d (sk, wvk,whk,wdk, p, q);
    % 2次元高速ウェーブレット逆変換(1レベル分)
end
```



original

原画像



JPEG
JPEG圧縮画像 (quality=50)

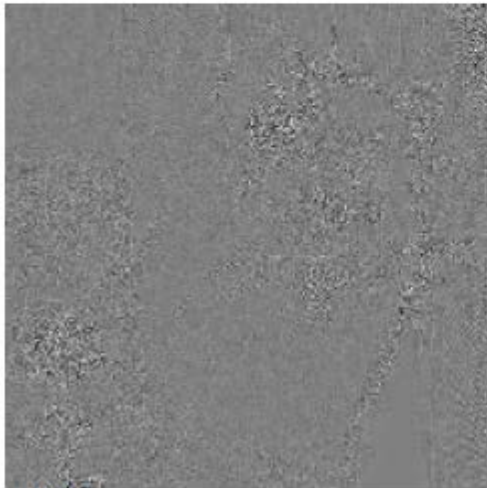


Wavelet
Wavelet圧縮画像 (上位10%のみ残す)



original

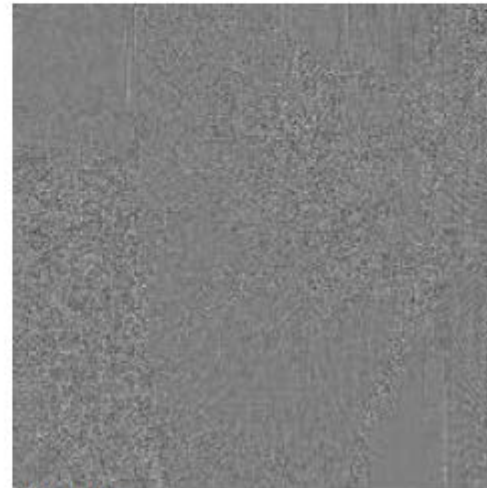
原画像



JPEG

JPEG MSE = 1.5e+001

原画像との
差分



Wavelet

Wavelet MSE = 1.1e+001

